EXAME NACIONAL DO ENSINO SECUNDÁRIO

11.º Ano de Escolaridade (Decreto-Lei n.º 74/2004, de 26 de Março)

Curso Científico-Humanístico de Ciências e Tecnologias

Duração da prova: 120 minutos

1.ª FASE

2006

PROVA ESCRITA DE FÍSICA E QUÍMICA – A

VERSÃO 1

Na sua folha de respostas, indique claramente a versão da prova.

A ausência dessa indicação implica a anulação de todos os itens de escolha múltipla e de verdadeiro/falso.

1. Leia atentamente as informações seguintes.

Mais de 70% da superfície da Terra está coberta por água, e 97% dessa água encontra-se nos oceanos.

A água dos oceanos é uma solução aquosa extremamente complexa (Tabelas 1 e 2). Há cerca de 1.5×10^{21} L de água salgada nos oceanos, dos quais 3.5% (em massa), em média, é matéria dissolvida.

Tabela 1

Composição média da água dos oceanos		
lão	Concentração mássica / g dm ⁻³	
Cℓ ⁻	19,22	
Br⁻	0,07	
HCO ₃	0,14	
SO ₄ ²⁻	2,51	
Na⁺	10,70	
K⁺	0,39	
Mg ²⁺ Ca ²⁺	1,29	
Ca ²⁺	0,40	

Tabela 2

Compostos mais abundantes na água dos oceanos		
Cloreto de sódio Cloreto de magnésio Sulfato de magnésio Sulfato de cálcio Cloreto de potássio Carbonato de cálcio Brometo de potássio	concentração crescente	

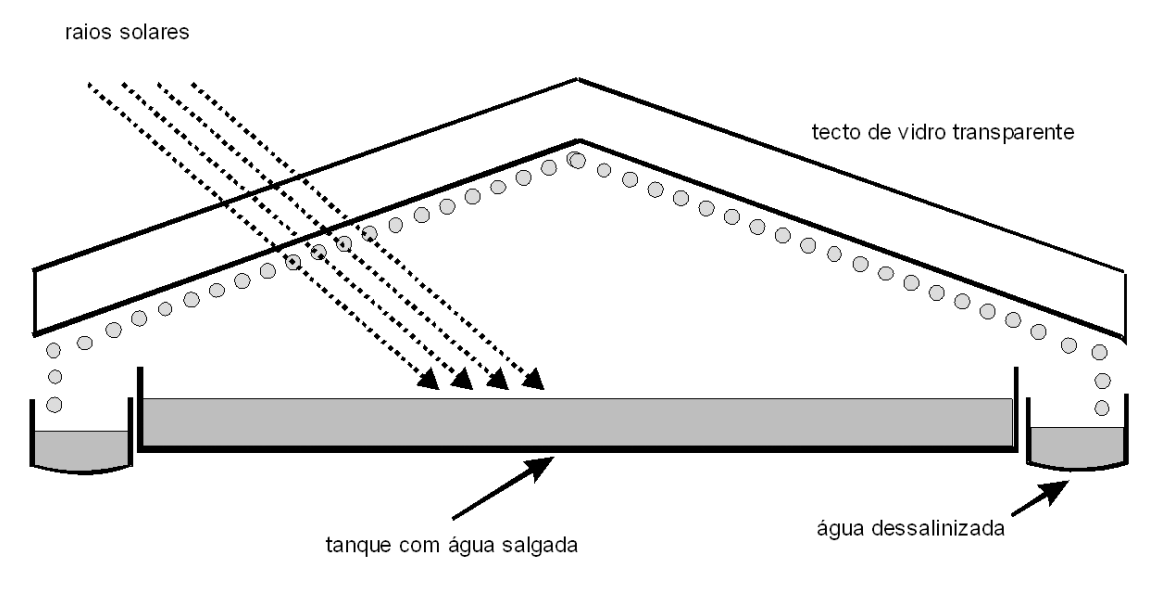
Define-se a salinidade de uma água do mar como a massa, em gramas, de sais dissolvidos num quilograma dessa água e expressa-se em partes por mil (%). Embora a salinidade da água de um oceano varie consideravelmente de lugar para lugar, as proporções relativas dos elementos permanecem constantes.

Há séculos que se estudam processos de dessalinização da água salgada, para obtenção de água potável.

O método mais antigo de dessalinização é a destilação. A dessalinização por congelação, que tem estado a ser desenvolvida há vários anos, baseia-se no facto de que, quando uma solução aquosa congela, o sólido que se separa da solução é praticamente água pura. A dessalinização por osmose inversa é, actualmente, muito utilizada e é economicamente o processo mais viável.

- 1.1. Com base na informação apresentada, seleccione a alternativa CORRECTA.
 - (A) A massa de sódio que se encontra na água dos oceanos é cerca de cinco vezes maior do que a massa de magnésio.
 - (B) A água existente nos rios representa 3% da água existente na Terra.
 - (C) A massa de cloreto de sódio dissolvida nos oceanos é calculada por $\frac{3.5 \times 1.5 \times 10^{21}}{100}$ g.
 - (D) A salinidade média da água dos oceanos é 35 partes por mil.

- **1.2.** Com base na informação apresentada, seleccione a alternativa **INCORRECTA**.
 - (A) O composto de fórmula química $MgC\ell_2$ está dissolvido na água do oceano.
 - **(B)** A dessalinização da água salgada por destilação e a dessalinização por congelação envolvem mudanças de fase.
 - **(C)** A dessalinização da água salgada por destilação é, dos três processos referidos, o mais económico.
 - (D) A salinidade diminui em zonas oceânicas que recebem grandes descargas de água de rios
- 1.3. O esquema da figura 1 representa um processo simples de dessalinização da água salgada.



- Fig. 1
- **1.3.1.** Descreva num texto, com base no esquema da figura 1, como se obtém água dessalinizada através deste processo.
- **1.3.2.** Apresente duas desvantagens da aplicação deste processo em grande escala.
- **1.4.** Recolheu-se uma amostra de 5,0 dm³ de água do oceano.

Calcule, com base nas informações apresentadas nas tabelas 1 e 2 e na Tabela Periódica, a massa de cloreto de sódio obtida por evaporação completa da água da amostra referida.

Apresente todas as etapas de resolução.

1.5. Para além de sais, também o CO_2 atmosférico se dissolve na água do oceano, dissolução essa que se pode traduzir pelo equilíbrio $CO_2(g) \iff CO_2(aq)$.

Seleccione a alternativa que permite completar correctamente a frase seguinte.

A solubilidade do CO_2 na água é aumentada devido à ocorrência da reacção reversível traduzida pela equação...

- (A) ... $CO_2(aq) + H_2O(\ell) \implies 2 HCO_3^-(aq) + H_3O^+(aq)$.
- **(B)** ... $CO_2(aq) + 2 H_2O(\ell) \implies HCO_3^-(aq) + H_3O^+(aq)$.
- (C) ... $CO_2(aq) + H_2O(\ell) \implies HCO_3^-(aq) + H_3O^+(aq)$.
- **(D)** ... $CO_2(aq) + 2 H_2O(\ell) \implies HCO_3^+(aq) + H_3O^+(aq)$.
- **1.6.** O magnésio, Mg, e o bromo, Br, são extraídos comercialmente, em grande escala, da água do oceano.

Classifique como verdadeira (V) ou falsa (F) cada uma das afirmações seguintes. Consulte a Tabela Periódica.

- (A) Os átomos de bromo e de flúor têm o mesmo número de electrões de valência.
- **(B)** A configuração electrónica 1s² 2s² 2p⁶ 3s¹ 3p¹ pode corresponder a um átomo de magnésio.
- (C) O raio atómico do elemento bromo é superior ao raio iónico do anião brometo.
- **(D)** A energia de primeira ionização do átomo de magnésio é inferior à energia de primeira ionização do átomo de cloro.
- (E) Os electrões do átomo de magnésio, no estado de energia mínima, estão distribuídos por seis orbitais.
- **(F)** Três electrões do átomo de bromo ocupam uma orbital cujos números quânticos, n, ℓ e m_{ℓ} , têm, respectivamente, os valores 1, 0 e 0.
- (G) Os electrões do átomo de bromo, no estado de energia mínima, estão distribuídos por orbitais de número quântico principal 1, 2, 3, 4 e 5.
- **(H)** O magnésio e o bromo são elementos que pertencem, respectivamente, às famílias dos metais alcalino-terrosos e dos halogéneos.

2. Um método utilizado, no início do século XX, para sinalizar a presença de barcos-farol quando havia nevoeiro, consistia no seguinte: o barco-farol (A) emitia um sinal sonoro por uma sirene situada num ponto elevado do barco e, simultaneamente, outro sinal sonoro por um emissor (um gongo) situado debaixo de água. Ambos os sinais podiam ser detectados por outros barcos. Os tripulantes de um barco (B) que se encontrasse na vizinhança obtinham a distância ao barco-farol cronometrando o intervalo de tempo entre a chegada dos dois sinais sonoros (figura 2).



Fig. 2

2.1. Suponha que a temperatura do ar é de 20 °C e que a temperatura da água do mar é de 25 °C.

Calcule, utilizando dados da tabela 3 que considere apropriados, a distância entre os dois barcos se os dois sinais sonoros forem detectados pelo barco (B) com uma diferença de 9 s.

Despreze os efeitos dos ventos e das correntes marítimas na propagação do som. Apresente todas as etapas de resolução.

Tabela 3

Gases			
Material	Velocidade do som / m s ⁻¹		
Hidrogénio (0 °C)	1286		
Hélio (0 °C)	972		
Ar (20 °C)	343		
Ar (0 °C)	331		
Líquidos a 25 °C			
Material	Velocidade do som / m s ⁻¹		
Glicerina	1904		
Água do mar	1533		
Água	1493		
Mercúrio	1450		

- **2.2.** Ondas sonoras utilizadas para detecção de objectos submersos (ondas de sonar) têm comprimento de onda da ordem de 30 cm. Ondas electromagnéticas com o mesmo comprimento de onda são utilizadas no radar.
 - Indique duas diferenças nas características destes dois tipos de onda.
- **2.3.** Uma partícula de um meio em que se propaga uma onda efectua um movimento oscilatório harmónico simples. A equação que exprime a posição, x, da partícula que efectua este movimento, em função do tempo, t, é $x = 2.0 \times 10^{-2} \sin 24\pi t$ (SI).

Seleccione a alternativa CORRECTA.

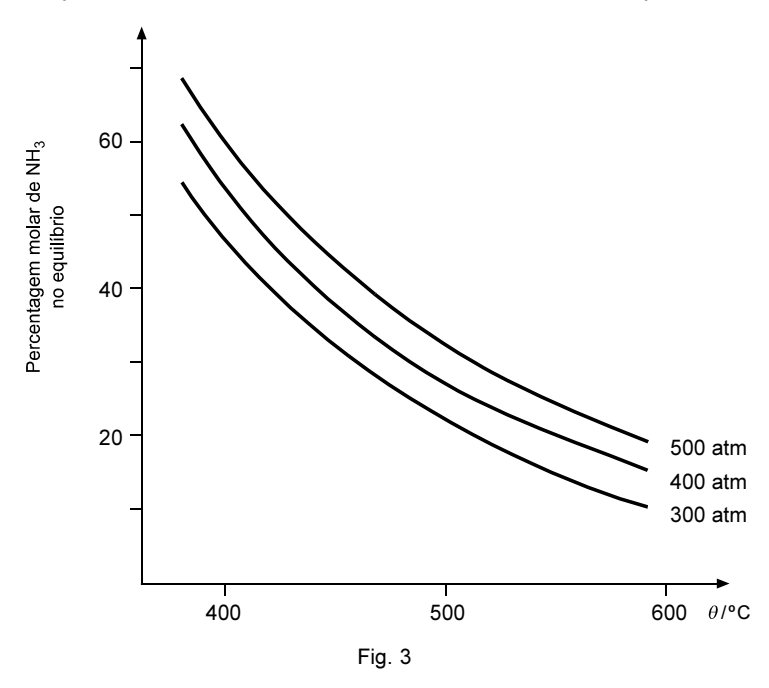
- (A) A amplitude do movimento é de 24 m.
- **(B)** A frequência angular do movimento é de 24 π rad s⁻¹.
- (C) O período do movimento é de 2.0×10^{-2} s.
- (D) A frequência angular do movimento é de 24 s⁻¹.

3. O amoníaco é uma substância gasosa, à temperatura ambiente, de grande utilidade para a sociedade em geral.

Assim, para fornecer as indústrias e as actividades que dependem do amoníaco como matéria-prima, é necessário ter um processo industrial rendível para a sua produção, como é o caso do processo Haber-Bosch, que utiliza o azoto e o hidrogénio gasosos como reagentes, de acordo com o seguinte equilíbrio:

$$N_2(g) + 3 H_2(g) \implies 2 NH_3(g)$$

A figura 3 traduz a percentagem molar de amoníaco, em equilíbrio, na mistura gasosa obtida a partir de N_2 e H_2 para temperaturas no intervalo 400-600 °C e a diferentes pressões.



- 3.1. De acordo com a informação apresentada, seleccione a alternativa CORRECTA.
 - (A) Para uma mesma temperatura, quando a mistura reaccional é comprimida, a percentagem molar de amoníaco obtida é menor.
 - (B) A síntese do amoníaco pelo método de Haber-Bosch é um processo endotérmico.
 - **(C)** Se ocorrer uma diminuição de temperatura, no sistema a pressão constante, a percentagem molar de amoníaco obtida é maior.
 - (D) Se ocorrer um aumento de pressão, no sistema a temperatura constante, o equilíbrio evolui no sentido inverso.
- **3.2.** Num recipiente fechado de capacidade $2,00\,L$, a uma temperatura T_A , foram colocados $1,00\,$ mol de $N_2(g)$ e $3,00\,$ mol de $H_2(g)$. Sabe-se que, ao atingir o equilíbrio, existem $0,080\,$ mol de $N_3,0,96\,$ mol de $N_2(g)$ e $2,88\,$ mol de $H_2(g)$.

Calcule a constante de equilíbrio, K_c , à temperatura T_A . Apresente todas as etapas de resolução, incluindo a expressão da constante de equilíbrio, K_c . **3.3.** Um balão contém 4,48 dm³ de amoníaco, NH₃(g), em condições normais de pressão e temperatura (PTN).

Seleccione a alternativa que permite calcular o número de moléculas de amoníaco que existem no balão.

(A)
$$N = \frac{4,48}{22.4 \times 6,02 \times 10^{23}}$$
 moléculas

(B)
$$N = \frac{4,48}{22.4} \times 6,02 \times 10^{23}$$
 moléculas

(C)
$$N = 4,48 \times 22,4 \times 6,02 \times 10^{23}$$
 moléculas

(D)
$$N = \frac{22.4}{4.48} \times 6.02 \times 10^{23}$$
 moléculas

3.4. Suponha que trabalha como engenheiro(a) químico(a) numa unidade industrial de produção de amoníaco.

Explique, num texto, de acordo com a informação apresentada, como poderia optimizar a produção de amoníaco pelo processo de Haber-Bosch, tendo em conta a influência da temperatura e da pressão, bem como a utilização de um catalisador.

3.5. A configuração electrónica de um átomo de azoto, no estado de menor energia, pode ser representada por [He] 2s² 2p³.

Seleccione a alternativa que completa correctamente a frase:

A geometria de uma molécula de amoníaco é...

- (A) ... piramidal triangular, e o átomo central possui apenas três pares de electrões.
- (B) ... piramidal triangular, e o átomo central possui três pares de electrões ligantes e um não ligante.
- (C) ... triangular plana, e o átomo central possui apenas três pares de electrões.
- (D) ... triangular plana, e o átomo central possui três pares de electrões ligantes e um não ligante.

4. Propôs-se a um grupo de alunos de uma Escola que criticassem e apresentassem sugestões sobre um projecto de uma pequena pista de treino para um desporto em que vários atletas se deslocam num trenó, ao longo de uma pista de gelo, procurando percorrê-la no mais curto intervalo de tempo possível.

A pista é constituída por três percursos rectilíneos, com diferentes comprimentos e declives, e por um percurso circular, como mostra a figura 4. Suponha que a trajectória do trenó no percurso circular é horizontal, existindo uma parede vertical de gelo que o mantém nessa trajectória. Na figura 4, o percurso circular BCD é apresentado em perspectiva.

O trenó deverá atingir o ponto F com velocidade nula e em segurança. Consideram-se desprezáveis todos os atritos no percurso ABCDE, bem como a resistência do ar na totalidade do percurso.

A massa total, m, do sistema trenó + atletas é de 300 kg, e o trenó parte do repouso no ponto A.

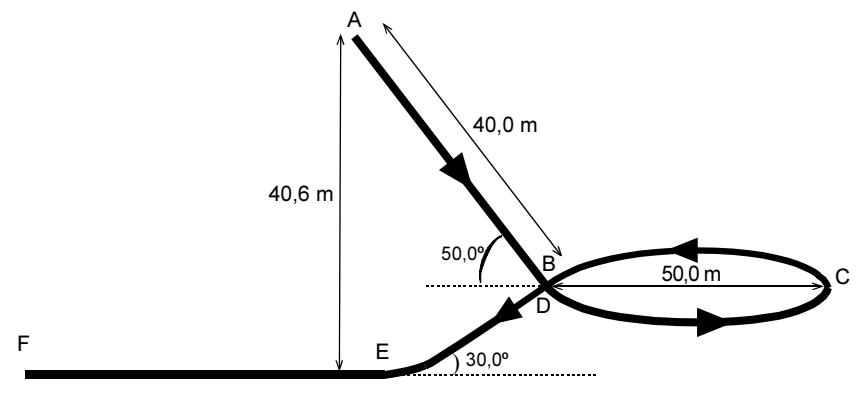


Fig. 4

4.1. Nas condições apresentadas, qual é a variação da energia potencial gravítica do sistema constituído pela Terra e *trenó* + *atletas*, no percurso entre os pontos A e E?

Seleccione a alternativa CORRECTA.

(A)
$$-9.19 \times 10^4 \text{ J}$$

(B)
$$+9.19 \times 10^4 \text{ J}$$

(C)
$$-1.22 \times 10^5 \text{ J}$$

(D)
$$+1.22 \times 10^5 \text{ J}$$

4.2. Por questões de segurança, o módulo da aceleração do trenó não deverá ultrapassar no percurso AB o valor 0,80 g, sendo g o módulo da aceleração gravítica à superfície da Terra. No seu relatório, os alunos concluíram que, efectivamente, esta exigência foi cumprida.

Verifique esta conclusão, partindo de um argumento energético. Apresente todas as etapas de resolução.

4.3. O módulo da velocidade, v, do trenó no ponto C é de 24,8 m s⁻¹. O módulo da força centrípeta que actua no sistema no ponto C é $F_c = m \frac{v^2}{r}$, sendo r o raio da trajectória circular.

Calcule a aceleração do sistema *trenó* + *atletas* no ponto C, indicando o módulo, a direcção e o sentido. Apresente todas as etapas de resolução.

4.4. Qual dos seguintes gráficos melhor representa o valor da aceleração do sistema trenó + atletas, em função da posição, ℓ , ao longo do percurso AF?

(A) a A B C DE F

O A B C D E F

(C) a A B C DE F

(D) a O A B C D E F

4.5. Para que o trenó atinja o final da pista com velocidade nula, é necessária uma força de atrito constante muito intensa no percurso EF.

Qual é a modificação que se pode efectuar nesse percurso, EF, para que o trenó atinja a extremidade da pista com velocidade nula, mas sujeito a uma força de atrito de menor intensidade?

4.6. Ao escreverem o relatório, alguns alunos discutiram se o módulo da velocidade do trenó se manteria, ou não, constante no percurso horizontal circular BCD, tendo em conta que nesse percurso há forças a actuar no trenó.

Escreva um texto em que justifique a conclusão que terá prevalecido no relatório.